

# 应用现行台风域内气压场模式的一点看法

王 喜 年

(国家海洋局总台水文预报室)

台风潮动力数值计算结果的好坏，在很大程度上依赖于台风域内气压场和风场模式的优劣。而台风风场模式，一般说来，更直接地依赖于气压场模式。因此，对台风域内的气压分布进行讨论，对于提高台风潮数值计算精度并不是多余的。下面仅就比较流行的三个模式做一讨论。

## (一)

高桥公式

$$P = P_n - (P_n - P_o) / (1 + r/R) \quad (1)$$

藤田公式

$$P = P_n - (P_n - P_o) / \sqrt{1 + (r/R)^2} \quad (2)$$

美国气象局用的所谓“标准气压公式”：

$$P = P_o + (P_n - P_o) e^{-R/r} \quad (3)$$

这里， $P_n$  是台风外围气压或渐近气压， $P$  是距台风中心  $r$  距离上的气压， $P_o$  是台风中心气压； $R$  是含有距离因次的参数。

若将(1)、(2)和(3)式两边各减去  $P_o$ ，容易得到如下等式：

高桥公式：

$$\frac{P - P_o}{P_n - P_o} = 1 - \frac{1}{1 + r/R} \quad (4)$$

藤田公式：

$$\frac{P - P_o}{P_n - P_o} = 1 - \frac{1}{\sqrt{1 + (r/R)^2}} \quad (5)$$

标准气压公式： $\frac{P - P_o}{P_n - P_o} = e^{-R/r}$   $\quad (6)$

日本学者梶浦欣二郎，把(1)、(2)和(3)式中  $P_o$ 、 $P_n$  及  $R$  无因次化，做图进行了比较。图1引自梶浦欣二郎<sup>[1]</sup>。

从图1中不难看出，在三个气压场模式中，依美国气象局的“标准气压公式”所画出

的曲线，位于高桥和藤田公式的两条曲线中间。

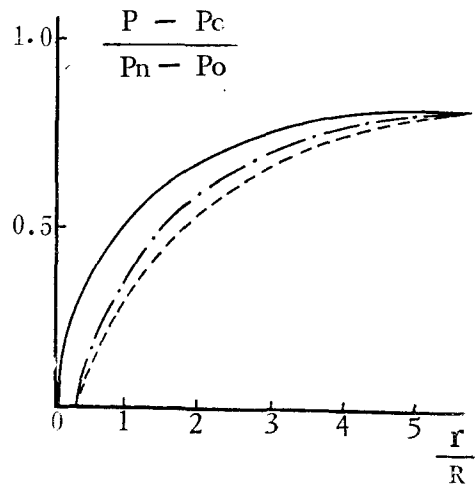


图1 气压场模式的比较  
—·—· 美国气象局，····· 藤田，——高桥。

## (二)

此次笔者所做结果与梶浦欣二郎的结果不同，现概要介绍如下：

在台风的最大风速半径处，离心力超过科氏力一个数量级，在这里科氏力可大胆略掉，进而假定略掉摩擦，则离心加速度与最大风速半径处的水平气压梯度力平衡—旋衡风(cyclostrophic wind)，其表达式如(7)式所示：

$$\frac{V_c^2}{r} = \frac{1}{\rho_a} \frac{dP}{dr} \quad (7)$$

$$V_c = \sqrt{\frac{r}{\rho_a} \frac{dP}{dr}} \quad (8)$$

这里， $V_c$  为旋衡风速， $\rho_a$  为空气密度， $P$  为在离台风中心  $r$  距离上的气压。现将(1)、(2)和(3)式中的气压( $P$ )代入(8)式，分别对  $r$  微分并取极值(即  $\frac{d V_c}{d r} = 0$ )，经简单运

算，容易获得如下结果：

(1) 对于高桥和美国气象局的公式，在 $r = R$ 处，均出现最大风速，亦即(1)、(3)式中的参数R就表示台风最大风速半径。

(2) 对于藤田公式，在 $r = \sqrt{2}R$ 处，出现台风最大风速，显然(2)式的R并不代表台风最大风速半径。由此看来，不能对(4)、(5)及(6)式中的R不加区别的无因次化。为了避免混淆，以 $r_0$ 代表最大风速半径，则(5)式中的 $R = \frac{r_0}{\sqrt{2}}$ ，那么(4)、(5)、(6)式相应变成如下形式：

$$\frac{P - P_0}{P_n - P_0} = 1 - \frac{1}{1 + r/r_0} \quad (9)$$

$$\frac{P - P_0}{P_n - P_0} = 1 - \frac{1}{\sqrt{1 + 2(r^2/r_0^2)}} \quad (10)$$

$$\frac{P - P_0}{P_n - P_0} = e^{-r_0/r} \quad (11)$$

把(9)、(10)和(11)三个无因次等式做图比较(图2)，从图中可以看出：在 $r/R = 2$ 处，(9)、(10)式相交， $0 \leq r/R \leq 2$ 范围内(10)式居中，此后是(9)式居中。在台风暴雨数值计算中，把(9)、(10)式联合应用，可能是有益的。亦即在 $r/R = 2$ 之前应用藤田式，之后应用高桥式。

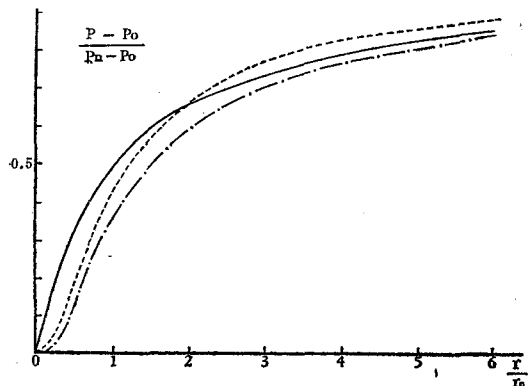


图2 气压场模式的比较  
—·—· 美国气象局，····· 藤田，——高桥。

顺便指出，美国学者基于旋衡风的假定并考虑摩擦，获得了另外一种台风域中的气压场

模式<sup>[3]</sup>：

$$P = \frac{\rho_a}{3} \left( \frac{V_R}{\nu} \right)^2 \left( \frac{r}{R} \right)^3 + P_0, \quad 0 \leq r \leq R \quad (12)$$

$$P = -\rho_a \left( \frac{V_R}{\nu} \right)^2 \frac{R}{r} + P_\infty, \quad r \geq R \quad (13)$$

$$\nu = 2 V_R \sqrt{\rho_a / [3(P_\infty - P_0)]} \quad (14)$$

式中 $V_R$ 表示最大风速， $R$ 表示最大风速半径， $P_\infty$ 表示台风外围气压，其他符号定义如前同。

美国将依(12)、(13)计算出的曲线与实测曲线和(3)进行了比较，看来并不比依(3)式画出的曲线优越。

至于台风域中的风场计算，美国则假定飓风具有圆形等压线，风场是用与台风中心对称的风与伴随台风移动的风(移动风场)的矢量和来表示<sup>[3]</sup>。这种考虑方法几乎与日本的考虑方法相同<sup>[2]</sup>。本文就不作讨论了。

至此，本文重点对比较流行的台风域内的三个气压场模式进行了比较，得出了不同于日本学者梶浦欣二郎的比较结果。笔者认为，藤田和高桥两个气压场模式的联合应用可能是可取的。

## 参 考 文 献

- [1] 梶浦欣二郎，1961。海天空 37(4):29—33。
- [2] 堀口孝男，1966。第13回海岸工学讲演会讲演集，pp. 242—247。
- [3] Chester, P. Jelesnianski, 1965. Mon. Wea. Review 93 (6):343—358.

